

УДК 003. 9: 616-002.1

С.В.Татарко, М.О.Клименко

Репаративні явища при гострому інфекційному запаленні

*На модели перитонита, вызванного *E. coli*, у крыс изучены закономерности репаративных явлений в динамике острого инфекционного воспаления и посттромалитической регенерации ткани. Пик содержания нейтрофилов в воспаленной ткани брыжейки приходился на 1-е сутки, макрофагов — на 3-и, незрелых фибробластов — на 5-е, восстановление числа зрелых фибробластов — на 10-е сутки. Синтетическая способность макрофагов и фибробластов достигала пиков в те же сроки. Повышенная функциональная активность макрофагов отмечалась до 90-х, незрелых фибробластов — до 30—60-х, зрелых фибробластов — до 60—90-х суток.*

Вступ

Порівняно з судинно-ексудативно-інфільтративними явищами репаративний процес при запаленні вивчений недостатньо. Тим більше це стосується експериментальних даних про репаративну стадію запалення у залежності від виду ушкоджуючого агента [7]. Літературні дані про репарацію під час запалення отримані головним чином на моделях рани та асептичної гранулеми й торкаються ранньої репаративної стадії запалення. Репаративні явища при інфекційному запаленні, яке становить першочерговий інтерес для клініки, практично не вивчені.

Метою нашої роботи було вивчення морфологічної та авторадіографічної характеристики макрофагально-фібробластичної реакції в динаміці експериментального гострого інфекційного запалення та післязапальній регенерації тканини.

Методика

Досліди виконані на 198 щурах-самцях лінії Вістар масою 180—200 г. Перитоніт відтворювали внутрішньочеревним введенням 2 млрд (1/2 LD₅₀) мікробних тіл добової культури *E. coli*, виділеної від хворого на перитоніт, в 1 мл ізотонічного розчину хлориду натрію [4, 5]. У різні строки запалення тварин декапітували. У плівкових препаратах брижі, забарвлених гематоксиліном-еозином та за ван Гізоном, підраховували відносну кількість нейтрофілів, моноцитів-макрофагів, незрілих і зрілих фібробластів [6]. Визначали індекс мічених ядер (ІМЯ) макрофагів, незрілих і зрілих фібробластів [2, 3]. У якості мітки для макрофагів використовували метил-³Н-тимідин і 5-³Н-урідин, для фібробластів — також і Д, L-¹⁴C-пролін. Ізотести вводили у м'яз стегна за 1, 2 та 3 год відповідно до декапітації із розрахунку 37 МБк/кг в 0,5 мл ізотонічного розчину хлориду натрію [2, 3].

Результати та їх обговорення

При вивченні клітинної динаміки у вогнищі запалення встановлено, що вміст нейтрофілів у запаленій тканині брижі різко збільшувався через 5 год від початку запалення і сягав максимума за 1-шу добу, коли вони перева-

© С.В.ТАТАРКО, М.О.КЛИМЕНКО, 1995

жали серед клітинних елементів. Їх кількість прогресивно зменшувалася за 3-тю добу, була порівняно незначною за 5-ту та 10-ту доби і не відрізнялася від вихідної через 20 діб (рис. 1). Відносний вміст макрофагів досягав вершини за 3-тю добу, коли макрофаги переважали серед

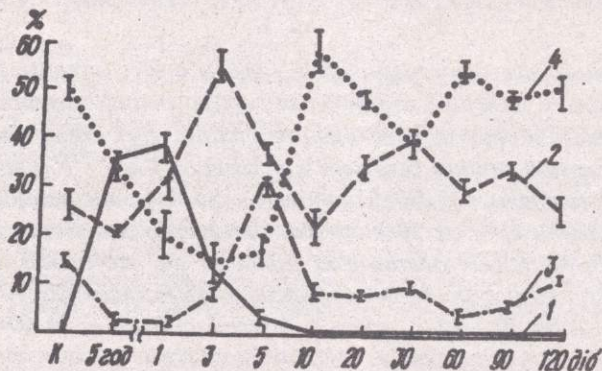


Рис. 1. Вміст (% від загального) нейтрофілів (1), моноцитів-макрофагів (2), незрілих (3) та зрілих (4) фібробластів у брижі шурів при гострому інфекційному перитоніті.

клітинних елементів, і відновлювався за 10-ту добу. Далі він змінювався хвильовидно, підвищуючись за 20—30-ту та 90-ту доби і повертаючись до вихідного рівня за 60-ту та 120-ту доби. Кількість незрілих фібробластів була зменшеною через 5 год, 1 і 3 доби, підвищувалася та була максимальною за 5-ту добу; потім знижувалася, з 10-ї по 90-ту добу була меншою від вихідної і відновлювалася за 120-ту добу. Відносне число зрілих фібробластів, які складають переважну частину клітин у нормі, прогресивно знижувалося та було найменшим за 3-тю добу, збільшувалося за 10-ту, так що не відрізнялося від вихідного і, отже, знову ставало переважаючим, дещо зменшувалося за 30-ту та відновлювалося на 60-ту добу.

Кількісним змінам клітинних елементів запаленої тканини відповідала динаміка їх синтетичної активності. ІМЯ макрофагів при використанні як ^3H -тимідина, так і ^3H -урідина був підвищений з 1-ї по 90-ту добу з максимумом за 3—10-ту і менш вираженою повторною вершиною за 30-ту добу й повертається до вихідного рівня за 120-ту (рис. 2). Активність незрілих

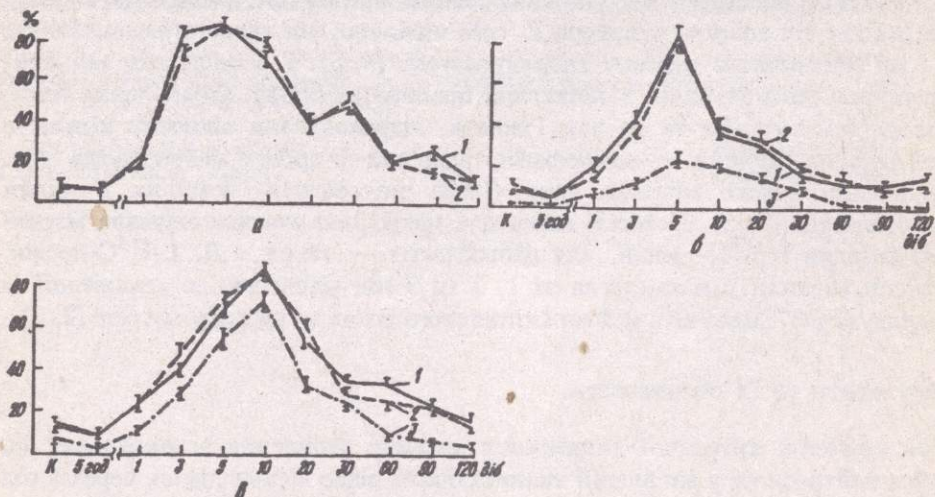


Рис. 2. Індекс ядер, міченіх ^3H -тимідином (1), ^3H -урідином (2) і ^4C -проліном (3), макрофагів (а), незрілих (б) та зрілих (с) фібробластів у брижі шурів при гострому інфекційному перитоніті.

фібробластів, за результатами з застосуванням усіх трьох ізотопів, знижувалася через 5 год, поступово підвищувалася з максимумом за 5-ту добу і також поступово відновлювалася за 60—90-ту добу. ІМЯ зрілих фібробластів поступово підвищувався з вершиною за 10-ту добу, після чого помітно зменшувався за 30-ту і поступово — за 90—120-ту добу, коли не відрізнявся від вихідного рівня.

Таким чином, клітинна динаміка у запаленій тканині брижі при гостро-му інфекційному перитоніті характеризувалася звичайною для репаратив-ного процесу послідовністю з наступними закономірностями: вершина вмісту нейтрофілів припадала за 1-му добу, макрофагів — за 3-тю, незрілих фібробластів — за 5-ту, відновлення числа зрілих фібробластів — за 10-ту добу. Динаміка функціональної активності макрофагів і фібробластів була дуже подібною до кількісної динаміки. Синтетична здатність указаних клітин сягала вершин у ті ж строки. Підвищена ак-тивність макрофагів відзначалася до 90-ї доби, незрілих фібробластів — до 30—60-ї, зрілих фібробластів до 60—90-ї доби.

Вже за 3-тю добу запалення з'являлися невеликі ділянки молодої грану-ляційної тканини зі значною кількістю проліферуючих судин, спо-стерігалося часткове відновлення мезотеліальної вистилки. За 5-ту добу ос-тання відновлювалася більш ніж наполовину, виявлялися великі зони гра-нуляційної тканини з інтенсивно проліферуючими судинами, а також не-великі ділянки молодої сполучної тканини. За 10-ту добу відзначалося по-вне відновлення мезотеліальної вистилки, заміщення грануляційної ткани-ни молодою сполучною. Через 20—30 діб спостерігалося часткове відновлення структури тканини брижі; макрофаги, число яких знову збільшувалося, розташовувалися переважно у місцях надмірного розвитку колагенових волокон. За 60—120-ту добу відзначалися резорбція залишків грубоволокнистої фіброзної тканини, відновлення просторової орієнтації волокнистих структур тканини брижі.

Наведені результати відносно закономірностей ранньої репаративної стадії запалення узгоджуються з даними літератури, отриманими на моде-лях інших за етиологією запальних процесів. Так, при нанесенні рани на брижу щурів максимальна швидкість загоювання (за кількістю мітозів і вмістом рибонуклеїнових кислот у фібробlastах) припадає на 5—7-му добу [8]. При загоюванні шкірної рани у щурів підвищений вміст колагену у грануляційній тканині виявляється через 3 доб і досягає максимуму за 10-ту добу [9]. При гранульоматозному запаленні у щурів, викликаному вве-денням целоїдинових кульок під шкіру, число фібробластів, після різкого їх зменшення за перші години, наростиє протягом 10-ти діб, перевищуючи вихідний рівень після 5-ї доби. Максимум проліферативних, синтетичних і секреторних процесів у фібробlastах (за результатами кількості мітозів у фібробlastах, концентрації в їх цитоплазмі РНК і вмісту колагену у вог-нищі) відзначається з 2-ї до 5-ї доби, а через 10—15 діб секреторна ак-тивність фібробластів знижується [1].

Отримані результати у сукупності з даними літератури свідчать про спільність закономірностей репарації, принаймні на ранньому її етапі, при різних за етиологією (інфекційне, асептичне) запальніх процесах. Виходячи з типовості запалення, уявляється, що відмінні у динаміці репаративних явищ можуть бути пов'язані з різницею у перебігу (гостре, підгостре, хронічне) одного і того ж за етиологією запалення, ніж з етиологічним фак-тором при однотипному перебігу.

ПАТОФІЗІОЛОГІЯ

S.V.Tatarko, N.A.Klimenko

REPAIRATION IN ACUTE INFECTIOUS INFLAMMATION

On the model of peritonitis induced by *E.coli* in rats the regularities of repair in dynamics of acute infectious inflammation and post-inflammatory regeneration have been studied. The peaks of neutrophils, macrophages, immature fibroblasts and restoration of mature fibroblasts number in mesenterium on the 1, 3, 5 and 10th days, respectively, have been found. The synthetic functional activity of macrophages and fibroblasts reached their peaks in the same terms. The increased activities of macrophages up to the 90th day, immature fibroblasts up to the 30—60th day and mature fibroblasts up to the 60—90th day have been marked.

Medical Institute, Ministry
of Public Health of Ukraine, Kharkov

СПИСОК ЛІТЕРАТУРИ

1. Васильцов М.К., Радостина А.И. Динамика морфофункциональных изменений в фибробластах очага воспаления // Арх. анатомии, гистологии и эмбриологии. — 1977. — 72, № 2. — С. 80—83.
2. Епіфанова О.И., Терских В.В., Захаров А.Ф. Рентгенография. — М.: Выш. школа, 1977. — 246 с.
3. Киселева А.Ф., Житников А.Я., Кейсевич Л.В. и др. Морфофункциональные методы исследования в норме и при патологии. — К.: Здоров'я, 1983. — 183 с.
4. Клименко Н.А. Взаимодействие тучных клеток с лейкоцитами в повышении проницаемости сосудов очага воспаления // Бюл. эксперим. биологии и медицины. — 1992. — № 1. — С. 28—30.
5. Клименко Н.А., Татарко С.В. Тучные клетки в очаге острого инфекционного воспаления // Физiol. журн. — 1992. — 38, № 1. — С. 64—68.
6. Серов В.В., Шехтер А.Б. Соединительная ткань: Функциональная морфология и общая патология. — М.: Медицина, 1981. — 312 с.
7. Чернух А.М. Воспаление (Очерки патологии и экспериментальной терапии). — М.: Медицина, 1979. — 448 с.
8. Franzen L., Norrby K. A tissue model for quantitative studies on time course of healing, rate of healing and cell proliferation after wounding // Acta pathol. Microbiol. et Immunol. scand. — 1983. — 91, № 4. — P. 281—289.
9. Lundberg C., Campbell D., Agerup B., Ulfendahl H. Quantification of the inflammatory reaction and collagen accumulation in an experimental model of open wounds in the rat. A methodological study // Scand. J. Plast. and Reconst. Surg. — 1982. — 16, № 2. — P. 123—131.

Харків. мед. ін-т
М-ва охорони здоров'я України

Матеріал надійшов
до редакції 21.12.93